

С. Л. Богза<sup>a</sup>, С. Ю. Суйков, Н. М. Богдан,  
Ю. А. Николюкин, В. И. Дуленко

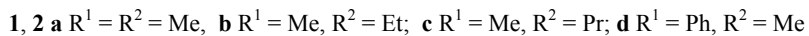
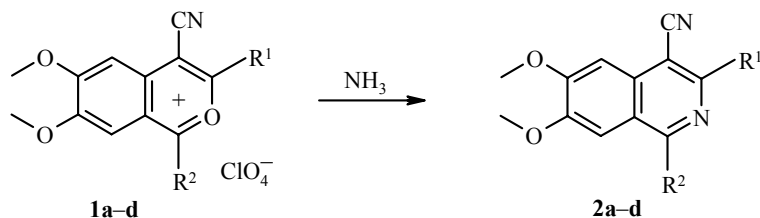
РЕАКЦИИ СОЛЕЙ 4-ЦИАНОБЕНЗО[*c*]ПИРИЛИЯ  
С АЗОТСОДЕРЖАЩИМИ НУКЛЕОФИЛАМИ

Изучены реакции рециклизации солей 4-цианобензо[*c*]пирилия аммиаком, первичными аминами, гидразинами. Получены новые производные изохинолина, бензо-2,3-диазепина, пиразоло[5,4-*c*]изохинолина.

**Ключевые слова:** бензо-2,3-диазепин, бензо[*c*]пирилий, изохинолин, пиразоло[5,4-*c*]-изохинолин, рециклизация.

Превращения солей 4-ацетил- и 4-этоксикарбонилбензо[*c*]пирилия описаны в работах [1–3]. Продолжая исследование реакционной способности бензо[*c*]пирилиевого катиона с электроноакцепторными заместителями, мы изучили рециклизацию перхлоратов 4-цианобензо[*c*]пирилия [4] под действием азотсодержащих нуклеофилов.

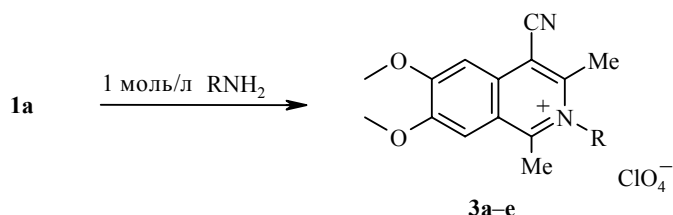
Наличие нитрильной группы, как и других акцепторных заместителей [5], в пирилиевом ядре позволяет проводить его превращения в мягких условиях. Перхлораты 1,3-диалкил- (**1a–c**) и 1-метил-3-фенил-4-цианобензо[*c*]пирилия (**1d**), подобно 4-ацетил- и 4-этоксикарбонилзамещенным, превращаются в 4-цианоизохинолины **2a–d** при комнатной температуре в водно-спиртовом растворе аммиака.



Для изучения реакций с другими азотсодержащими нуклеофилами использовали соли **1a** и **1d**, которые выделяются при ацилировании соответствующих  $\beta$ -кетонитрилов с препаративно приемлемыми выходами. Выходы перхлоратов **1b,c** с этильным и пропильным заместителями в положении 1 низки вследствие образования побочных продуктов —

перхлоратов 4(3Н)-оксо-1,3-оксазиния [4]. Исследованы превращения перхлоратов **1a** и **1d** с *n*-толуидином и первичными алифатическими аминами, гидразингидратом и фенилгидразином.

При взаимодействии эквимолярных количеств соли **1a** и первичного амина или гидразина в 2-пропаноле при температуре 20–40 °С с высокими выходами образуются перхлораты 2-R-4-цианоизохинолиния **3a–e**.

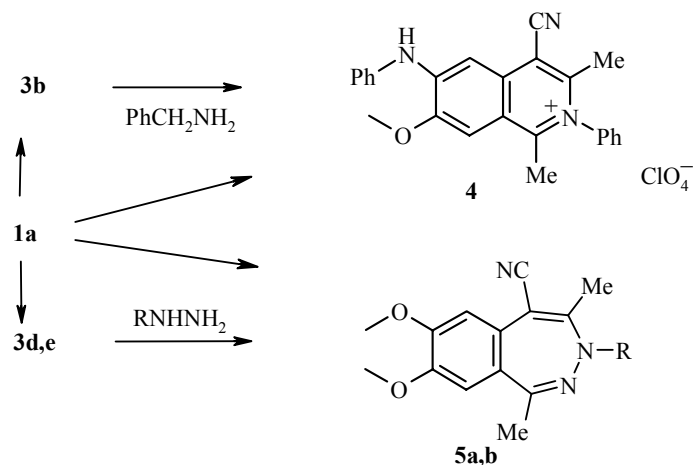


**3 a** R = *p*-Tol, **b** R = CH<sub>2</sub>Ph, **c** R = фурфурил, **d** R = NH<sub>2</sub>, **e** R = NHPH

Нагревание соли **1a** с пятикратным количеством *n*-толуидина также завершается образованием соединения **3a**, которое не подвергается дальнейшим превращениям и в присутствии высокоосновных аминов (бензиламин, бутиламин), что может быть вызвано перераспределением электронной плотности изохинолиневого катиона за счет участия π-электронного секстета N-арильного заместителя. При использовании избытка бензиламина рециклизация пиранового цикла соли **1a** в пиридиниевый катион сопровождается замещением 6-метоксигруппы остатком амина и образуется перхлорат 2-бензил-6-бензиламино-1,3-диметил-7-метокси-4-цианоизохинолиния (**4**). Соединение **4** было получено также при обработке избытком бензиламина соли 2-бензил-4-цианоизохинолиния **3b**, что позволяет считать последнюю интермедиатом превращения **1 → 4**.

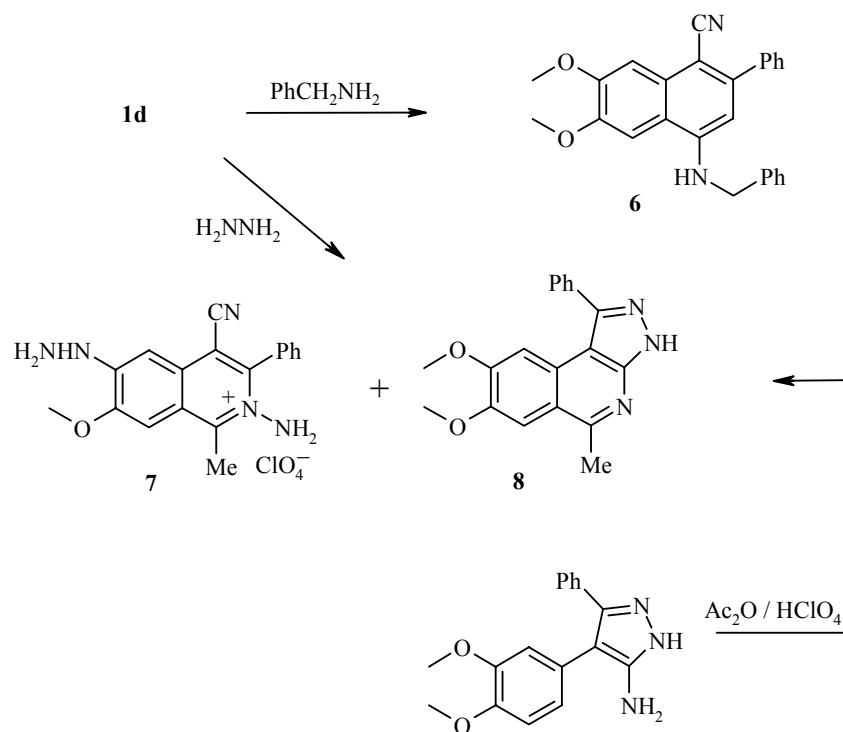
Спектры ИК и ЯМР <sup>1</sup>Н соли изохинолиния **4** и данные элементного анализа соответствуют предложенной структуре. В известной рециклизации производных 4-этоксикарбонилбензо[с]пирилия первичными аминами катион 2-R-4-этоксикарбонилизохинолиния тоже является интермедиатом одного из превращений, однако продуктами реакции являются производные 1-нафтиламина [3].

При нагревании соли **1a** или перхлоратов **3d,e** с избытком гидразина или фенилгидразина образуются соединения, спектральные и аналитические характеристики которых соответствуют производным бензо-2,3-диазепина **5a,b**. В ИК спектре 1,4-диметил-7,8-диметокси-5-цианобензо-2,3(3Н)-диазепина (**5a**) присутствуют полосы поглощения нитрильной группы (2200), связей C=C и C=N семичленного цикла (1640, 1610, 1585), а также полоса поглощения при 3250 см<sup>-1</sup>, соответствующая колебаниям связи N–H.



**5 a R = H, b R = Ph**

В спектре ЯМР  $^1\text{H}$ , записанном в растворе  $\text{DMSO-d}_6$ , регистрируются синглеты двух метильных и двух метоксигрупп и два сигнала ароматических протонов бензольного ядра. Синглет с химическим сдвигом 6.02 м. д. и интегральной интенсивностью 1Н принадлежит протону H-3 диазепинового цикла. При нагревании раствора образца от 18 до 40 °C происходит дрейф сигнала протона с 6.02 до 5.9 м. д., что, с учетом присутствия в ИК спектре полосы поглощения связи N–H, подтверждает принадлежность протона атому азота в положении 3 и характер расположения связей



в семичленном кольце. В спектре диазепина **5b** наблюдается сильный

слабопольный сдвиг синглета протона H-6 (8.92 м. д.). Этот эффект скорее всего вызван уменьшением расстояния между протоном H-6 и нитрильной группой из-за искажения геометрии диазепинового цикла вследствие введения в него объемного фенильного заместителя.

При замене метильной группы в положении 3 катиона 4-цианобензо[с]пирилия фенильным заместителем направление реакций меняется. Взаимодействие перхлората **1d** с бензиламином приводит к 1-бензиламино-6,7-диметокси-3-фенил-4-цианонафталину (**6**) независимо от соотношения реагентов.

Таблица 1

**Физико-химические характеристики соединений 2–8**

Соединение	Брутто-формула	Найдено, %				Т. пл., °C	Выход, %
		C	H	N	Cl		
<b>2a</b>	C <sub>14</sub> H <sub>14</sub> N <sub>2</sub> O <sub>2</sub>	69.7 69.4	5.9 5.8	11.5 11.6		243–244	65
<b>2b</b>	C <sub>15</sub> H <sub>16</sub> N <sub>2</sub> O <sub>2</sub>	70.0 70.3	6.4 6.2	11.2 11.0		223–224	63
<b>2c</b>	C <sub>16</sub> H <sub>18</sub> N <sub>2</sub> O <sub>2</sub>	71.3 71.1	6.5 6.7	10.5 10.4		194–195	60
<b>2d</b>	C <sub>19</sub> H <sub>16</sub> N <sub>2</sub> O <sub>2</sub>	75.1 75.0	5.2 5.3	9.5 9.4		214–216	65
<b>3a</b>	C <sub>19</sub> H <sub>21</sub> ClN <sub>2</sub> O <sub>6</sub>	55.6 55.8	5.1 5.2	6.9 6.8	8.6 8.7	219–221 (разл.)	86
<b>3b</b>	C <sub>21</sub> H <sub>21</sub> ClN <sub>2</sub> O <sub>6</sub>	58.2 58.3	5.0 4.9	6.7 6.5	8.1 8.2	220–222 (разл.)	80
<b>3c</b>	C <sub>19</sub> H <sub>19</sub> ClN <sub>2</sub> O <sub>7</sub>	53.9 54.0	4.4 4.5	6.6 6.5	8.0 8.2	198–200 (разл.)	69
<b>3d</b>	C <sub>14</sub> H <sub>16</sub> ClN <sub>3</sub> O <sub>6</sub>	46.8 47.0	4.3 4.5	11.9 11.7	10.1 9.9	283–285 (разл.)	87
<b>3e</b>	C <sub>20</sub> H <sub>20</sub> ClN <sub>3</sub> O <sub>6</sub>	55.2 55.4	4.5 4.6	9.9 9.7	6.8 7.0	241–243 (разл.)	77
<b>4</b>	C <sub>27</sub> H <sub>26</sub> ClN <sub>3</sub> O <sub>5</sub>	63.7 63.8	5.1 5.1	8.5 8.3	6.9 7.0	237–238 (разл.)	74
<b>5a</b>	C <sub>14</sub> H <sub>15</sub> N <sub>4</sub> O <sub>2</sub>	65.6 65.3	5.9 5.9	16.3 16.3		203–204	73
<b>5b</b>	C <sub>20</sub> H <sub>19</sub> N <sub>3</sub> O <sub>2</sub>	72.0 72.0	5.6 5.7	12.7 12.6		179–180	66
<b>6</b>	C <sub>26</sub> H <sub>22</sub> N <sub>2</sub> O <sub>2</sub>	79.0 79.1	5.5 5.6	7.3 7.1		157–158	65
<b>7</b>	C <sub>18</sub> H <sub>18</sub> ClN <sub>5</sub> O <sub>5</sub>	51.9 51.5	4.2 4.3	16.9 16.7	8.9 8.5	267–269	35
<b>8</b>	C <sub>19</sub> H <sub>17</sub> N <sub>3</sub> O <sub>2</sub>	71.5 71.5	5.6 5.3	13.3 13.2		272–273	40

Таблица 2

### Спектральные характеристики соединений 2–8

Соединение	ИК спектр, $\nu, \text{см}^{-1}$	Спектр ЯМР $^1\text{H}$ , $\delta, \text{м. д.} (J, \text{Гц})^*$
<b>2a</b>	2220, 1615	2.57 (3H, с, CH <sub>3</sub> ), 2.73 (3H, с, CH <sub>3</sub> ), 3.67 (3H, с, OCH <sub>3</sub> ), 3.80 (3H, с, OCH <sub>3</sub> ), 7.07 (1H, с, H аром.), 7.17 (1H, с, H аром.)
<b>2b</b>	2220, 1620	1.07 (3H, т, CH <sub>3</sub> ), 2.50 (3H, с, CH <sub>3</sub> ), 3.03 (3H, к, CH <sub>2</sub> ), 3.67 (3H, с, OCH <sub>3</sub> ), 3.77 (3H, с, OCH <sub>3</sub> ), 7.07 (1H, с, H аром.), 7.15 (1H, с, H аром.)
<b>2c</b>	2220, 1615	0.60 (3H, т, CH <sub>3</sub> ), 1.50 (2H, м, CH <sub>2</sub> ), 2.50 (3H, с, CH <sub>3</sub> ), 2.97 (2H, т, CH <sub>2</sub> ), 3.63 (3H, с, OCH <sub>3</sub> ), 3.73 (3H, с, OCH <sub>3</sub> ), 7.07 (1H, с, H аром.), 7.15 (1H, с, H аром.), 7.05 (1H, с, H аром.), 7.17 (1H, с, H аром.)
<b>2d</b>	2220, 1610	2.83 (3H, с, CH <sub>3</sub> ), 3.90 (3H, с, OCH <sub>3</sub> ), 3.97 (3H, с, OCH <sub>3</sub> ), 7.16–7.85 (7H, м, H аром.)
<b>3a</b>	2220, 1620, 1100	2.47 (3H, с, CH <sub>3</sub> ), 3.13 (3H, с, CH <sub>3</sub> ), 3.45 (3H, с, CH <sub>3</sub> ), 3.98 (3H, с, OCH <sub>3</sub> ), 4.15 (3H, с, OCH <sub>3</sub> ), 7.53–7.75 (3H, м, H аром.), 7.85 (1H, с, H аром.), 8.08 (2H, д, H аром.)
<b>3b</b>	2225, 1620, 1100	3.10 (3H, с, CH <sub>3</sub> ), 3.27 (3H, с, CH <sub>3</sub> ), 4.20 (3H, с, OCH <sub>3</sub> ), 4.30 (3H, с, OCH <sub>3</sub> ), 6.03 (2H, с, CH <sub>2</sub> ), 7.10–7.55 (5H, м, H аром.), 7.67 (1H, с, H аром.), 7.83 (1H, с, H аром.)
<b>3c</b>	2225, 1625, 1100	2.57 (3H, с, CH <sub>3</sub> ), 2.72 (3H, с, CH <sub>3</sub> ), 3.85 (3H, с, OCH <sub>3</sub> ), 3.90 (3H, с, OCH <sub>3</sub> ), 4.06 (2H, с, CH <sub>2</sub> Fur), 6.07 (1H, с, H аром. Fur), 6.55 (1H, с, H аром. Fur), 6.68 (1H, с, H аром. Fur), 7.09 (1H, с, H аром.), 8.01 (1H, с, H аром.)
<b>3d</b>	3370, 3300, 2230, 1635, 1100	2.90 (3H, с, CH <sub>3</sub> ), 3.13 (3H, с, CH <sub>3</sub> ), 3.96 (3H, с, OCH <sub>3</sub> ), 4.03 (3H, с, OCH <sub>3</sub> ), 7.23 (1H, с, H аром.), 7.67 (1H, с, H аром.)
<b>3e</b>	3250, 2220, 1630, 1100	2.56 (3H, с, CH <sub>3</sub> ), 3.14 (3H, с, CH <sub>3</sub> ), 4.07 (3H, с, OCH <sub>3</sub> ), 4.09 (3H, с, OCH <sub>3</sub> ), 6.58 (2H, д, H аром.), 6.99 (1H, т, H аром.), 7.12 (1H, с, H аром.), 7.32 (2H, т, H аром.), 7.82 (1H, с, H аром.), 11.72 (1H, уш. с, N–H)
<b>4</b>	3320, 2230, 1605, 1100	2.83 (3H, с, CH <sub>3</sub> ), 2.95 (3H, с, CH <sub>3</sub> ), 3.97 (6H, с, 2OCH <sub>3</sub> ), 4.55 (2H, с, CH <sub>2</sub> ), 5.63 (2H, с, CH <sub>2</sub> ), 6.60 (1H, с, H аром.), 6.77–7.27 (11H, м, H аром.)
<b>5a</b>	3250, 2200, 1640	1.57 (3H, с, CH <sub>3</sub> ), 1.88 (3H, с, CH <sub>3</sub> ), 3.73 (3H, с, OCH <sub>3</sub> ), 3.76 (3H, с, OCH <sub>3</sub> ), 6.02 (1H, уш. с, N–H), 6.69 (1H, с, H аром.), 6.91 (1H, с, H аром.)
<b>5b</b>	2200, 1640	1.93 (3H, с, CH <sub>3</sub> ), 3.78 (3H, с, OCH <sub>3</sub> ), 3.82 (3H, с, OCH <sub>3</sub> ), 6.84 (1H, с, H аром.), 7.05–7.20 (1H, т, $J = 7.5$ , H аром.), 7.43 (2H, т, $J = 7.5$ , H аром.), 7.73 (2H, д, $J = 7.5$ , H аром.), 8.92 (1H, с, H аром.)
<b>6</b>	3400, 2200	3.54 (3H, с, OCH <sub>3</sub> ), 3.61 (3H, с, OCH <sub>3</sub> ), 4.00 (2H, д, CH <sub>2</sub> , $J = 6.2$ ), 6.52–6.67 (3H, м, H аром.), 7.04–7.32 (10H, м, H аром.), 10.50 (1H, т, $J = 6.2$ , N–H)
<b>7</b>	3200, 2225, 1640, 1610, 1100	3.17 (3H, с, CH <sub>3</sub> ), 4.10 (3H, с, OCH <sub>3</sub> ), 7.43–7.87 (7H, м, H аром.)
<b>8</b>	1620	3.23 (3H, с, CH <sub>3</sub> ), 3.80 (3H, с, OCH <sub>3</sub> ), 4.07 (3H, с, OCH <sub>3</sub> ), 7.67 (7H, с, H аром.)

\* Спектр ЯМР  $^1\text{H}$  снимали в CF<sub>3</sub>COOH (соединения **2a–d**, **3a,b,d**, **4**, **7** и **8**) и DMSO-d<sub>6</sub> (соединения **3c,e**, **5a,b**, **6**).

При нагревании соли **1d** с гидразингидратом при соотношении 1:10 были выделены перхлорат 2-амино-6-гидразино-1-метил-7-метокси-3-фенил-4-цианоизохинолиния (**7**) и 7,8-диметокси-5-метил-1-фенилпиразоло-

[3,4-*c*]изохинолин (**8**). Структура пиразолоизохинолина **8** была подтверждена также его встречным синтезом – ацилированием 5-амино-4-(3,4-диметоксифенил)-3-фенилпиразола [6] в уксусном ангидриде в присутствии хлорной кислоты. Вероятно, при взаимодействии соли **1d** с гидразином в условиях избытка реагента согласованное влияние заместителей на электронную оболочку бензо[*c*]пирилиевого катиона создает возможность равновероятной атаки молекулой гидразина атомов C<sub>(1)</sub> и C<sub>(6)</sub>, что определяет дальнейший ход реакции и строение конечных продуктов. Косвенным подтверждением достоверности этого предположения являются практически равные выходы соединений **7** и **8**.

Аналогичный результат, обусловленный близкой реакционной способностью атомов C<sub>(1)</sub> и C<sub>(6)</sub>, мы обнаружили и в случае взаимодействия перхлоратов 1,3-диалкил-4-этоксикарбонилбензо[*c*]пирилия с бензиламином [3].

Изученные реакции солей 4-цианобензо[*c*]пирилия показывают, что введение цианогруппы, как и других акцепторных заместителей, в катион бензо[*c*]пирилия облегчает его рециклизацию и расширяет возможности его превращений.

## ЭКСПЕРИМЕНТАЛЬНАЯ ЧАСТЬ

ИК спектры записаны в вазелиновом масле на спектрофотометре UR-20, спектры ЯМР <sup>1</sup>H – на спектрометре Varian Gemini-200 (200 МГц), внутренний стандарт ТМС.

Физико-химические и спектральные характеристики синтезированных соединений приведены в табл. 1 и 2.

**6,7-Диметокси-4-цианоизохинолины 2a–d.** К смеси 5 мл 25% водного раствора амиака и 8 мл 2-пропанола прибавляют один прием 5 ммоль перхлората **1**. Реакционную смесь перемешивают 1–2 ч, изохинолин **2** отфильтровывают, промывают водой, кристаллизуют из спирта.

**Перхлорат 1,3-диалкил-6,7-диметокси-2-R-4-цианоизохинолиния 3a–e.** К раствору 5.5 ммоль первичного амина или гидразина в 10 мл 2-пропанола прибавляют 5 ммоль перхлората **1** и перемешивают до растворения при 20–40 °C. Через 4–6 ч отфильтровывают осадок перхлората изохинолиния **3**, промывают спиртом, эфиром и сушат.

**Перхлорат 2-бензил-6-бензиламино-1,3-диметил-7-метокси-4-цианоизохинолиния (4).** А. Смесь 5 ммоль перхлората **1** и 25 ммоль бензиламина кипятят в этаноле 6 ч и оставляют на ночь. Выпавший осадок отфильтровывают и кристаллизуют из этанола.

Б. Смесь 5 ммоль перхлората изохинолиния **3b** и 25 ммоль бензиламина кипятят в этаноле 6 ч, реакционную смесь обрабатывают, как и в методе А.

**1-Бензиламино-6,7-диметокси-3-фенил-4-цианонафталин (6)** получают рециклизацией перхлората **1d** в условиях, описанных для соединения **4**.

**1,4-Диметил-7,8-диметокси-3-R-5-цианобензо-2,3(3H)-диазепины 5a,b.** Перхлорат **1a** или перхлораты изохинолиния **3d,e** нагревают с пятикратным количеством соответствующего гидразина в этаноле 5–6 ч и оставляют на ночь. Реакционную смесь выливают в воду, осадок отфильтровывают, промывают водой, сушат, кристаллизуют из ксилола.

**5-Метил-7,8-диметокси-1-фенилпиразоло[3,4-*c*]изохинолин (8) и перхлорат 2-амино-6-гидразино-1-метил-7-метокси-3-фенил-4-цианоизохинолиния (7).** Смесь 3 ммоль перхлората **1d** и 30 ммоль гидразингидрата в ацетонитриле кипятят 2 ч и охлаждают. Отфильтровывают выпавший осадок пиразолоизохинолина **8**, сушат и кристаллизуют из *m*-ксилола. Фильтрат выливают в 50 мл эфира, выпавшее масло растирают с водой, перхлорат **7** отфильтровывают, промывают водой и сушат, кристаллизуют из этанола.

С П И С О К Л И Т Е Р А Т У Р Ы

1. С. Л. Богза, Ю. А. Николюкин, *XTC*, 1475 (1993).

2. С. Л. Богза, Ю. А. Николюкин, В. И. Дуленко, *XTC*, 1290 (1994).
3. С. Л. Богза, Ю. А. Николюкин, М. Ю. Зубрицкий, В. И. Дуленко, *XTC*, 317 (1995).
4. С. Л. Богза, Ю. А. Николюкин, В. И. Дуленко, *XTC*, 465 (1990).
5. E. V. Kuznetsov, I. V. Shcherbakova, A. T. Balaban, *Adv. Heterocycl. Chem.*, **50**, 158 (1988).
6. Ю. А. Николюкин, Л. В. Дуленко, В. И. Дуленко, *XTC*, 1092 (1990).

*Институт физико-органической химии  
и углехимии им. Л. М. Литвиненко  
НАН Украины, Донецк 83114*

*Поступило в редакцию 05.03.2002*

<sup>a</sup>*Московский государственный текстильный  
университет им. А. Н. Косыгина,  
Москва 117983, Россия  
e-mail: serge\_zh@yahoo.com*

---